

چکیده

زلزله‌های ترکیه و تایوان در سال ۱۹۹۹ و چین در سال ۲۰۰۸، خرابی‌های را در ساختمان‌ها بر جای گذاشت که ناشی از برخورد مستقیم جابه‌جاوی ناشی از گسل به آنها بوده است. پس از این وقایع، نظر جامعه مهندسی بیش از پیش به این پدیده معطوف گردید. لذا از آن سال‌ها به بعد، تحقیقات نسبتاً زیادی در خصوص اندرکنش گسیختگی ناشی از گسل و ساختمان‌ها انجام شده است. اگرچه عملکرد پی‌های سطحی در برابر جابه‌جاوی‌های بزرگ ناشی از گسل‌های شبیه لغز مورد بررسی قرار گرفته است، اما همچنان نیاز به بررسی‌های بیشتر در خصوص پارامترهای تأثیرگذار بر روی اندرکنش گسیختگی ناشی از گسل-پی احساس می‌شود. در این مقاله، یک سری مدل‌سازی‌های عددی اعتبارسنجی شده با نتایج آزمایش‌های ساتریفیوژ ارائه شدند تا پارامترهای مؤثر بر روی رفتار اندرکنشی بین گسل‌لش معکوس و پی‌های کارگذاری شده در عمق، از قبیل عمق کارگذاری پی، صلیت خمسی پی، وزن روسازه و موقعیت پی نسبت به بیرون‌زدگی گسیختگی ناشی از گسل در سطح زمین مورد بررسی قرار گیرند. نتایج نشان دادند که عمق کارگذاری پی، موقعیت پی نسبت به گسل و صلیت خمسی آن در مقایسه با وزن روسازه تأثیر بیشتری بر روی رفتار اندرکنشی پی‌های سطحی و گسل‌لش معکوس دارند.

واژگان کلیدی: پی سطحی^۱، گسل معکوس^۲، جابه‌جاوی بزرگ، مدل‌سازی عددی^۳.

پارامترهای تأثیرگذار بر روی اندرکنش پی‌های سطحی کارگذاری شده در عمق و گسل‌لش معکوس

مهدي آشتiani (نويسنده مسئول)

استاديار، دانشكده مهندسي عمران، دانشكاه صنعتي نوشيروانی بابل،
بابل، ايران، m.ashtiani@nit.ac.ir

عباس قلندرزاده

دانشيار، دانشكده مهندسي عمران، پرديس دانشكده‌های فني،
دانشكاه تهران، تهران، ايران

شد. از جمله این تحقیقات می‌توان به بررسی‌های محلی [۱، ۴]، مطالعات آزمایشگاهی [۵-۸]، مدل‌سازی‌های عددی [۹-۱۰]، بررسی‌های تحلیلی [۱۱-۱۲] و بررسی روش‌های کاهش خطرات [۱۳-۱۴] اشاره نمود. اکثر این تحقیقات به منظور بررسی رفتار ساختمان‌ها در برابر گسیختگی ناشی از گسل‌ها انجام شده‌اند. با توجه به تحقیقات انجام شده در سال‌های اخیر (از جمله بررسی‌های میداني، آزمایشگاهی، عددی و تحلیلی) می‌توان متوجه شد که نتایج این بررسی‌ها، باعث مشخص شدن تأثیر برخی پارامترهای مهم بر روی اندرکنش ساختمان و گسل شده است. این پارامترها شامل نوع گسل، زاویه شبیه گسل، نوع و سختی خاک، عمق روباره بر روی سنگ بستر، وزن ساختمان، نوع و صلیت پی، موقعیت پی نسبت به بیرون‌زدگی گسیختگی

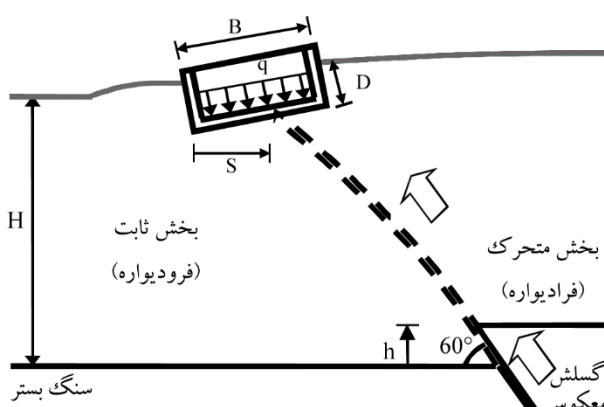
گسیختگی در یک گسل همواره دو اثر بر سازه‌ها خواهد داشت که به صورت انتشار امواج سه‌بعدی دور از محل گسل و همچنین جابه‌جاوی‌های شبه‌استاتیک دائمی در محل گسل می‌باشند. با توجه به سطح وسیع تأثیر انتشار امواج بر روی سازه‌های سطحی، این موضوع تاکنون به طور گستردۀ توسط محققین مختلف مورد بررسی قرار گرفته و منجر به تدوین آئین‌نامه‌های طراحی در این خصوص شده است. در مقابل، به دلیل اینکه جابه‌جاوی ناشی از گسل تنها زمانی که به سطح زمین برسد اثر آن بر روی سطح زمین و سازه‌ها قابل مشاهده است، نسبتاً کمتر مورد توجه قرار گرفته است [۱].

تحقیقات در خصوص جابه‌جاوی‌های شبه‌استاتیک گسل پس از زلزله‌های ۱۹۹۹ ترکیه [۲] و تایوان [۳] به صورت گستردۀ تری انجام

کارگذاری پی و در دو موقعیت مختلف، مورد بررسی قرار گرفته است. اما با توجه به نیاز به بررسی پارامترهای بیشتر و با جزئیات بیشتر در خصوص اندرکنش پی‌های کارگذاری شده در عمق و گسل‌لش معکوس، در این تحقیق، تأثیر پارامترهایی از قبیل عمق کارگذاری پی، موقعیت پی نسبت به بیرون‌زدگی گسیختگی ناشی از گسل در سطح زمین، صلیبت خمشی پی و وزن پی با استفاده از مدل‌سازی اجزای محدود اعتبارسنجی شده با نتایج آزمایش سانتریفیوژ مورد بررسی قرار گرفته است.

۲- تعریف مسئله

مسئله مورد بررسی شامل یک لایه خاک یکنواخت به ضخامت H ، که در کف آن گسل معکوس با زاویه شیب 60° گسیخته شده و جابه‌جایی روبه بالا، با مؤلفه قائم h ، ایجاد خواهد کرد. این مسئله به طور شماتیک در شکل (۱) نشان داده شده است. گسیختگی ناشی از گسل به بی‌سطحی با عرض B ، عمق D و با فشار q برخورد می‌کند. لبه سمت چپ پایینی بی نسبت به بیرون‌زدگی گسیختگی ناشی از گسل معکوس در سطح زمین، فاصله‌ای به اندازه D دارد که موقعیت پی را مشخص می‌کند.



شکل (۱): شکل شماتیک اندرکنش بی‌سطحی کارگذاری شده در عمق و گسیختگی ناشی از گسل معکوس.

۳- متداول‌وزی مدل‌سازی عددی و پارامترهای مدل تحلیل‌ها به صورت دو بعدی و در شرایط کرنش صفحه‌ای با استفاده از نرم‌افزار اجزای محدود آباکوس [۱۵] انجام شده است. به منظور به حداقل رساندن تأثیر مرزها بر روی نتایج

ناشی از گسل در سطح زمین و ... می‌باشد. اما به دلیل ماهیت ناشناخته گسل‌ها، رفتار غیرقابل پیش‌بینی گسیختگی گسل‌ها و تا حدودی مبهم بودن اندرکنش ساختمان‌ها و گسل‌ها، راه نسبتاً طولانی به منظور تدوین آئین نامه و تدوین چارچوب طراحی ساختمان‌های واقع در زون‌های گسلی باقی مانده است. لذا، نیاز به بررسی‌های بیشتر در خصوص جنبه‌های مختلف اندرکنش ساختمان- گسل وجود دارد.

شایان ذکر است اکثر تحقیقات مذکور به بررسی خرابی ساختمان‌ها در نتیجه برخورد گسیختگی ناشی از گسل به آنها از نقطه نظر تغییرات دوران و جابه‌جایی ساختمان و همچنین لنگر خمشی و نیروی برشی به وجود آمده در پی و اجزای ساختمان پرداخته‌اند. نکته بسیار مهم در این بررسی‌ها این است که بخش اعظم این تحقیقات بر روی ساختمان‌هایی انجام شده است که پی‌سطحی بر روی سطح زمین (بدون عمق کارگذاری) واقع شده است. این مسئله از دو جهت غیرمنطقی به نظر می‌رسد. از یک‌سو، بی‌ساختمان‌ها باید در یک عمق حداقلی برابر عمق یخ‌بندان قرار گیرند. از سوی دیگر، با توجه به نیاز به تأمین پارکینگ در مناطق شهری، گودبرداری انجام شده و بی‌ساختمان با یک یا چند طبقه زیرزمین اجرا می‌شوند. از این‌رو، فرض عدم عمق کارگذاری برای پی‌های سطحی به احتمال بسیار زیاد بر روی رفارهایی که تاکنون بررسی شده تأثیرگذار خواهد بود. لذا، تأثیر عمق کارگذاری پی بر روی اندرکنش ساختمان- گسل و پارامترهای مهم (از قبیل وزن ساختمان، صلیبت پی، موقعیت پی نسبت به بیرون‌زدگی گسیختگی ناشی از گسل در سطح زمین و همچنین عمق کارگذاری پی) باید مورد بررسی قرار گیرد.

در سال ۲۰۱۵، تحقیق آزمایشگاهی به منظور بررسی تأثیر عمق کارگذاری پی با استفاده از سانتریفیوژ انجام شده است [۶]. یک سری آزمایش محدود بر روی تأثیر پارامتر عمق کارگذاری پی انجام شده است. شایان ذکر است خرابی ساختمان تنها از جنبه تغییرات در دوران و جابه‌جایی پی مورد بررسی قرار گرفته است و با توجه به محدودیت‌های موجود، امکان بررسی لنگر خمشی و نیروی برشی اجزای پی وجود نداشت. همچنین، تنها دو عمق

برشی، خاک نرم‌شوندگی را تجربه می‌کند. بلافاصله بعد از نقطه پیک، باند برشی در نمونه ایجاد خواهد شد. بعد از شکل‌گیری باند برشی، فرض شد که تمام تغییر شکل برشی پلاستیک داخل باند برشی اتفاق می‌افتد، درحالی که بقیه جسم خاک الاستیک باقی می‌ماند. لذا با فرض پهنانی باند برشی برابر با d_{50} ، که d_{50} اندازه متوسط ذرات ماسه است، کرنش برشی پلاستیک زمانی که نرم‌شوندگی کامل می‌شود، محاسبه گردید. پس از تکمیل نرم‌شوندگی، برش در امتداد باند برشی توسعه یافته و به مرور افزایش می‌یابد و خاک شرایط پسمند را تجربه می‌کند. لذا، پس از شکل‌گیری باند برشی و محاسبه مقادیر کرنش برشی مرتبط با این شرایط (یعنی γ_f^P)، کاهش زاویه اصطکاک پیک و زاویه اتساع نمونه تا شروع مرحله پسمند بر اساس مقادیر کرنش برشی پلاستیک (یعنی γ_{oct}^P و با استفاده از روابط ۱ و ۲) انجام گردید. همچنین، به منظور لحاظ نمودن اثرات مقیاس [۱۸]، یک سری فرضیات ساده شونده در اصلاح رفتار بعد از پیک مدل موهر-کولمب انجام شده که توسط آناستاسوپولوس و همکاران [۹] با جزئیات توضیح داده شده است.

ماسه ۱۶۱ فیروزکوه با تراکم نسبی ۶۰ درصد به عنوان یک ماسه نسبتاً شل در مدل آزمایشگاهی و مدل‌های عددی مورد استفاده قرار گرفته است. در خصوص مشخصات این خاک به طور مفصل توسط آشتیانی و همکاران [۶] توضیح داده شده است. رفتار پیش از تسلیم خاک نیز به صورت الاستیک مدل‌سازی شده است. مقدار مدول الاستیسیته خاک به طور متغیر در عمق خاک و از ۵ مگاپاسکال در سطح زمین تا ۲۰ مگاپاسکال در عمق ۱۲ متری خاک لحاظ شده است. در تمام مدل‌ها نسبت پواسون برابر 0.33 ، انتخاب شده است.

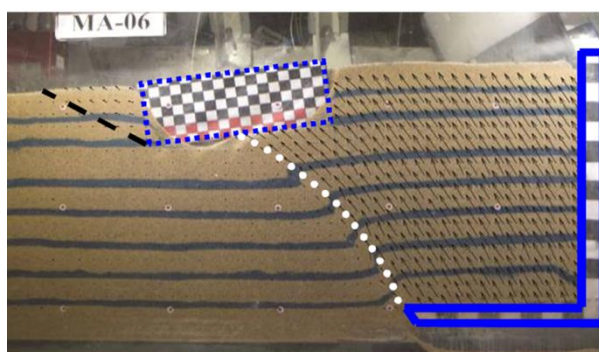
پی به عرض B و عمق D با استفاده از المان تیر و رفتار الاستیک مدل شده است. پی داخل خاک قرار داده شده و از طریق المان‌های تماس (المان‌های Gap) به خاک متصل می‌شود. این قبیل المان‌ها در فشار دارای سختی بی‌نهایت بوده اما در کشش مقاومتی از خود نشان نمی‌دهند. همچنین، رفتار این المان‌ها در برش نیز از قانون اصطکاکی کولمب پیروی می‌کند.

مدل‌سازی‌های عددی، پهنانی مدل‌ها برابر $4H = 16$ [۱۶] انتخاب گردید. خاک با استفاده از المان‌های کرنش صفحه‌ای چهار وجهی با بعد $d_{FE} = 1/0$ متر مدل‌سازی شده است [۱۷]. در این تحقیق مدل رفتاری الاستوپلاستیک موهر-کولمب با نرم‌شوندگی همسان کرنش در نظر گرفته شده است که توسط آناستاسوپولوس و همکاران [۹] توسعه داده شده است. در این مدل نرم‌شوندگی کرنش به صورت کاهش زاویه اصطکاک بسیج شده (φ_{mob}) و زاویه اتساع بسیج شده (Ψ_{mob}) با افزایش کرنش برشی پلاستیک (γ^P) تعریف می‌شود.

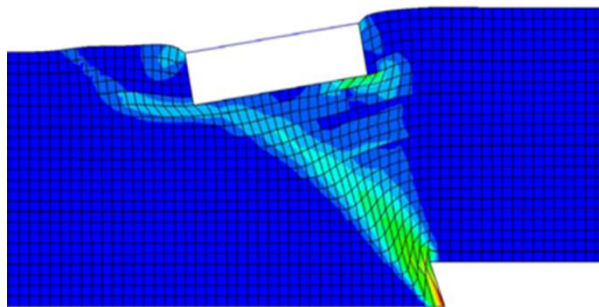
$$\varphi_{mob} = \begin{cases} \varphi_P - \frac{\varphi_P - \varphi_{res}}{\gamma_f^P} \gamma_{oct}^P & \text{for } 0 \leq \gamma^P < \gamma_f^P \\ \varphi_{res} & \text{for } \gamma^P \geq \gamma_f^P \end{cases} \quad (1)$$

$$\Psi_{mob} = \begin{cases} \Psi_P \left(1 - \frac{\gamma_{oct}^P}{\gamma_f^P} \right) & \text{for } 0 \leq \gamma^P < \gamma^P \\ \Psi_{res} = 0 & \text{for } \gamma^P \geq \gamma^P \end{cases} \quad (2)$$

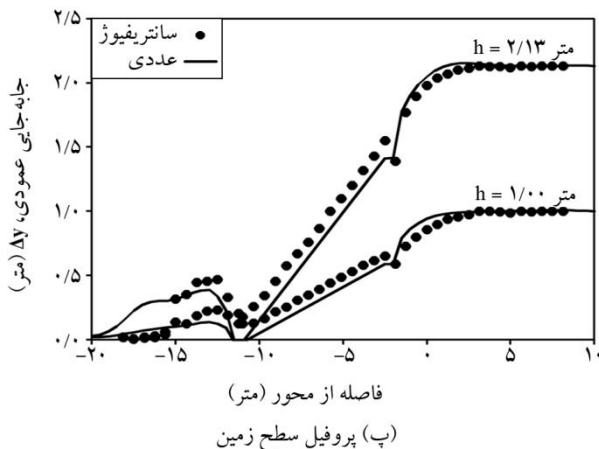
که φ_P و φ_{res} به ترتیب زاویه اصطکاک بسیج شده نهایی و مقدار پسمند آن؛ Ψ_P زاویه اتساع نهایی؛ γ_{oct}^P کرنش برشی اکتاهدرال پلاستیک و γ_f^P کرنش برشی پلاستیک که در آن نرم‌شوندگی کامل می‌شود. مدل رفتاری مذکور با استفاده از یک زیربرنامه به برنامه اجزای محدود آباکوس اضافه شده است. از آنجایی که آزمایش برش مستقیم تا حد زیادی، برش ناشی از گسل در خاک را شبیه‌سازی می‌کند، پارامترهای مدل از طریق نتایج این آزمایش کالیبره شده‌اند. برای این کار، پاسخ خاک (با رفتار نرم‌شوندگی) به چهار بخش مجزا تقسیم‌بندی گردید که شامل رفتارهای الاستیک، پلاستیک، نرم‌شوندگی و پسمند می‌باشند. در شرایط الاستیک، رفتار خاک تا حدی غیرخطی و بدون هیچ اتساعی است. در این شرایط، رفتار خاک با استفاده از مدول سکانت، به شکل الاستیک خطی مدل شده است. زمانی که خاک وارد مرحله پلاستیک می‌شود، خاک تسلیم شده و اتساع می‌کند و تا نقطه پیک پیش خواهد رفت. با فرض یکنواخت بودن کرنش برشی در تمام عمق نمونه خاک و همچنین عدم تشکیل باند برشی، کرنش برشی خاک تا شرایط پیک را می‌توان محاسبه نمود. سپس با افزایش مقدار کرنش



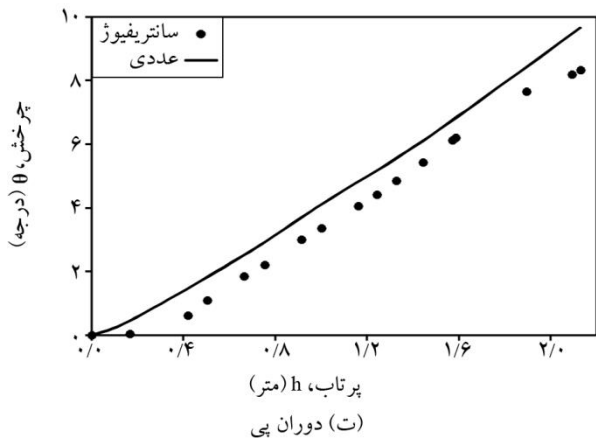
(الف) مدل تغییر شکل یافته آزمایشگاهی [۱۹]



(ب) مدل تغییر شکل یافته عددی



(پ) پروفیل سطح زمین



شکل (۲): مقایسه نتایج آزمایش سانتریفیوژ اندرکنش گسل معکوس و پی با عرض $8/5$ متر، عمق کارگذاری $D/B=0/3$ ، فشار $q=81$ کیلوپاسکال و موقعیت $B/B=0/75$ با تحلیل عددی.

مقدار ضریب لغزش بر اساس اصطکاک بین خاک و بتن پی فرض شده و برابر $\Phi^2/3$ لحاظ شده است. در ضمن، جابه جایی غیریکنواخت به بخش راست مدل به صورت شباهستاتیکی و به صورت مراحل پی درپی با نموهای کم اعمال می شود.

۴- اعتبارسنجی نتایج مدل سازی عددی با استفاده از نتایج آزمایش‌های سانتریفیوژ

آزمایش‌های سانتریفیوژ شامل بررسی اندرکنش گسل معکوس با زاویه شیب 60° و پی سطحی به عرض $B = 8/5$ متر، فشار برابر $q = 81$ کیلوپاسکال، موقعیت $B/B = 0/75$ و عمق‌های کارگذاری $D/B = 0/3$ ، $0/6$ می‌باشند. عمق مدل آزمایشگاهی در شرایط واقعی برابر 12 متر و خاک از نوع ماسه 161 فیروزکوه با تراکم نسبی 60 درصد می‌باشد [۶]. همان‌طور که در بخش قبلی نیز توضیح داده شد، کالیبراسیون پارامترهای مربوط به خاک مورد استفاده در این تحلیل‌ها، بر اساس نتایج آزمایش‌های برش مستقیم انجام می‌پذیرد. در این خصوص، یک سری آزمایش‌های برش مستقیم بر روی ماسه مذکور انجام شده است که پارامترهای مقاومتی و اتساعی خاک و مقادیر کرنش بر Shi پلاستیک که در آن نرم‌شوندگی کامل می‌گردد (یعنی γ_f^p)، در جدول (۱) [۱۹] ارائه شده است.

شکل‌های (۲) و (۳) مقایسه نتایج تحلیل‌های عددی و مدل‌های آزمایشگاهی را بر اساس جابه جایی قائم سطح زمین (Δ) و میزان دوران پی (θ) نشان می‌دهند. اگرچه نتایج به طور دقیق بر یکدیگر منطبق نیستند اما این مقایسه توانایی تحلیل عددی اجزای

جدول (۱): پارامترهای مقاومتی ماسه 161 فیروزکوه بر اساس نتایج آزمایش برش مستقیم [۱۹].

کرنش پوشی پلاستیک، γ_f^p	زاویه اتساع، Ψ (درجه)	زاویه اصطکاک حداقل، Φ_{Peak} (درجه)	تنش برشی ماکزیمم، τ_{Peak} (کیلوپاسکال)	تنش قائم، σ_n (کیلوپاسکال)
$0/28$	$5/0$	37	25	33
$0/28$	$2/5$	31	45	75
-	-	34	88	130
-	-	34	129	193

محدود را به منظور شبیه‌سازی اندرکنیش گسل - پی نشان می‌دهد.
همچنین، مدل عددی میزان دوران پی ناشی از جابه‌جایی گسل
را کمی بیش از مقدار واقعی آن تخمین می‌زند.

۵- تحلیل‌های پارامتریک

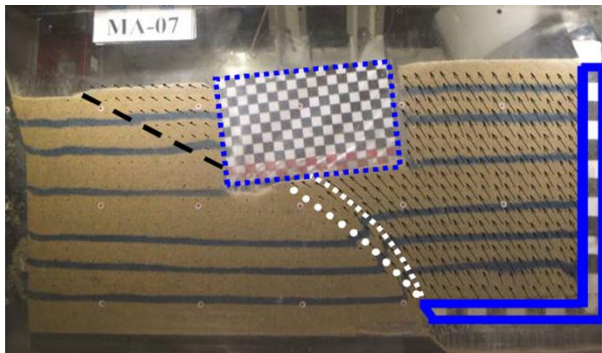
به منظور بررسی جامع تر اندر کنش برخورد گسیختگی گسل معمکوس به بی های سطحی کار گذاری شده در عمق، یک سری تحلیل های پارامتریک با استفاده از مدل عددی اعتبارسنجی شده با نتایج آزمایش سانتریفیوژ، انجام پذیرفته است. در این مدل ها گسل معمکوس با زاویه شبیب 60° درجه به لایه خاک با عمق ۲۵ متر، پی به عرض ۱۰ متر و خاک ماسه ای نسبتاً شل با تراکم نسی 60° درصد اعمال شده است. پارامترهای زیر در تحلیل های پارامتریک مورد بررسی قرار گرفته اند:

- موقعیت پی نسبت به بیرون زدگی گسیختگی سطحی گسل بر روی زمین: $\frac{1}{7}, \frac{1}{6}, \frac{1}{5}, \frac{1}{4}, \frac{1}{3}, \frac{1}{2}, \frac{1}{10}, \frac{1}{9}, \frac{1}{8}, \frac{1}{7}, \frac{1}{6}$

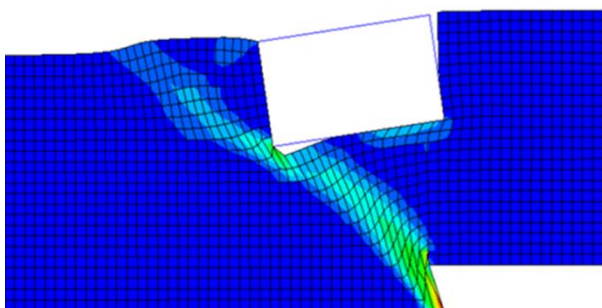
وزن پی: $q = 20, 40, 80$ کیلوپاسکال. با فرض اینکه وزن واحد سطح هر طبقه از ساختمان 10 کیلونیوتن بر متر مربع باشد، فشارهای مذکور به ترتیب معادل ساختمان‌های $2, 4, 8$ و 10 طبقه هستند. شایان ذکر است که فشارهای متفاوت ناشی از پی (یعنی پارامتر وزن)، با استفاده از تغییر وزن مخصوص مصالح مورد استفاده در پی، در مدل‌های عددی اعمال شده است.

- عمق کارگذاری پی: $D/B = 0/3, 0/6, 0/9$ از آنجایی که عرض پی ۱۰ متر می باشد، عمق های مذکور معرف یک، ۲ و ۳ طبقه زیر زمین پر ای ساختمان هستند.

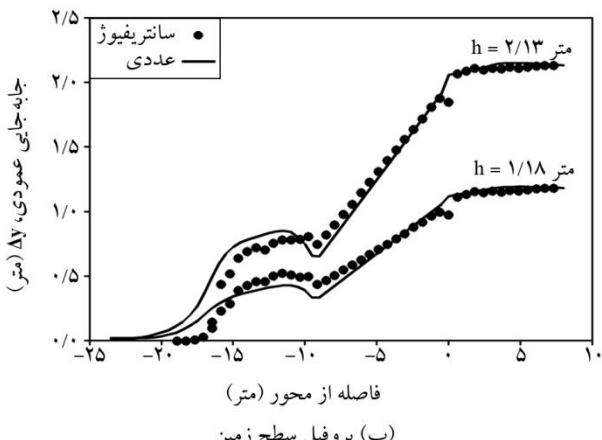
صلیت خمثی پی و دیوارهای پیرامون: $EI = 10^4$ ، 10^6 ، 10^8 کیلونیوتن مترمربع (که E مدول الاستیسیته پی و I ممان اینرسی آن است). در این حالت، فرض می شود که $EI = 10^4$ کیلونیوتن مترمربع معرف پی انعطاف پذیر و $EI = 10^8$ کیلونیوتن مترمربع معرف یک پی صلب (با سختی بالا) است. شایان ذکر است که پی مورد استفاده از نوع بتنی (یعنی $E = 20$ گیگاباسکال) و



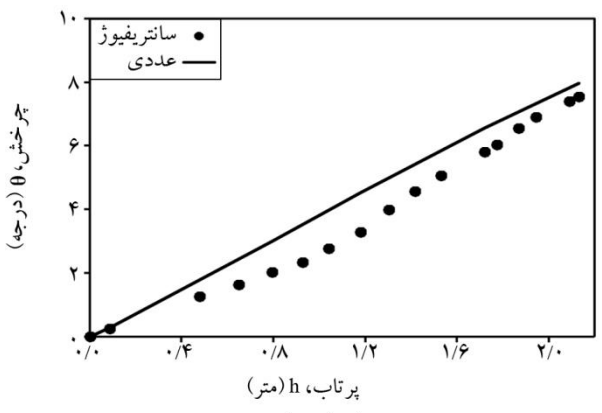
(الف) مدل تغییر شکل یافته آزمایشگاهی [۱۹]



(ب) مدل تغییر شکل یافته عددی



(ب) پروفیل سطح زمین



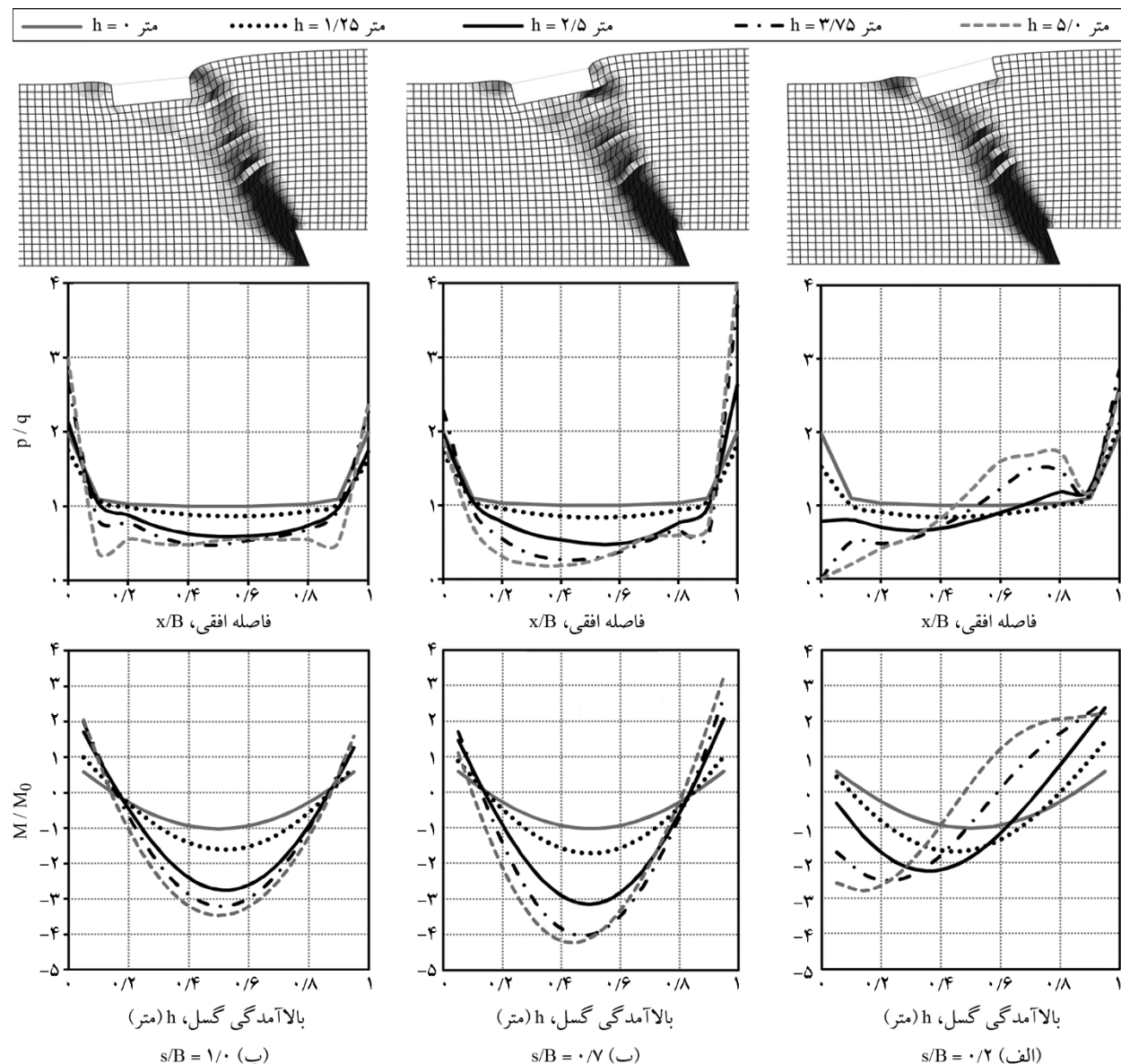
(ت) دوران پی

شكل (۳): مقایسه نتایج آزمایش سانتریفیوژ اندر کنش گسل معکوس و بی با عرض $8/5$ متر، عمق کارگذاری $6/D$ ، فشار $q=81$ کیلوپاسکال و موقعیت $B=7/5$ s با تحلیل عددی.

تحلیل‌های پارامتریک ارائه شده و مورد بحث قرار گرفته است.

۱-۵- تأثیر موقعیت پی نسبت به بیرون‌زدگی گسیختگی گسل
به منظور نشان دادن تأثیر موقعیت پی کارگذاری شده در عمق نسبت به بیرون‌زدگی گسیختگی گسل بر روی سطح زمین، پاسخ پی به عرض ۱۰ متر، فشار وارد بر پی ۱۰۰ کیلوپاسکال، عمق $s/B = 0.2/3$ و در موقعیت‌های $1/10, 0/7, 0/2$ در مقدار $D/B = 0.3$ تحت گسلش معکوس مورد بررسی قرار گرفته است. مقایسه سه موقعیت مذکور پی در شکل (۴) نشان داده شده است.

ضخامت‌های معادل صلیت‌های خمسی $10^4, 10^6$ و 10^8 کیلونیون متر مربع به ترتیب حدوداً برابر $0.04, 0.01$ و 0.008 متر می‌باشد. البته باستی اشاره نمود که ضخامت $1/10$ متر اجرایی نبوده و صرفاً جهت نشان دادن سختی بسیار کم (یعنی، پی کاملاً انعطاف‌پذیر) در المان‌های پی مورد استفاده قرار گرفته است. دیوارهای پیرامونی نیز با صلیت خمسی مشابه صلیت خمسی پی مدل‌سازی شده‌اند. لذا تحلیل‌های عددی با این فرض انجام شده‌اند که صلیت خمسی دیوارهای پیرامونی مشابه صلیت خمسی پی باشد. در ادامه، در هر بخش یک‌سری نتایج مربوط به برخی از



شکل (۴): تأثیر موقعیت پی صلب نسبت به بیرون‌زدگی گسیختگی گسل برای پی با عمق کارگذاری 0.3 و $D/B = 0.3$ و فشار $q = 100$ کیلوپاسکال در موقعیت‌های (الف) $(s/B = 0.2)$, (ب) $(s/B = 0.7)$ و (پ) $(s/B = 1.0)$

باز توزیع فشار تماسی در کف پی شده و افزایش میزان فشار تماسی در بخش سمت راست پی ($x/B = 0.4 < 0.8$) را به همراه خواهد داشت. همچنین، توزیع لنگر خمی نیز تغییر یافته و از نظر علامت جهت آن عوض خواهد شد.

همان طور که در شکل (۴-ب) نشان داده شده است، زمانی که گسیختگی ناشی از گسل در شرایط میدان آزاد در فاصله $s/B = 0.7$ به زیر پی برخورد می‌کند، گسیختگی ناشی از گسل پخش شده و برای $h = 1/25$ متر تغییرات چندانی در فشار تماسی ایجاد نمی‌کند اما میزان لنگر خمی تا حدود دو برابر افزایش می‌یابد. با افزایش میزان بالا آمدگی گسل برای $h > 2/5$ متر، فشار تماسی در بخش میانی پی در حال کاهش بوده و برای $h = 5/10$ متر به صفر نزدیک شده است. این مسئله نشان می‌دهد که با پخش شدگی گسیختگی گسل در زیر پی، بخش میانی آن در حال از دست دادن تماس خود با خاک بوده و در نتیجه پی به صورت یک تیر نسبتاً گیردار با دو تکیه گاه در دو انتهای خود عمل خواهد نمود. در این حالت نوع تغییر شکل پی به فرم کاسه‌ای^۵ بوده و میزان لنگر خمی نیز در این بخش افزایش یافته و برای $h > 2/5$ متر تا حدود $3/4$ برابر میزان اولیه خود می‌رسد. با جابه‌جایی گسیختگی گسل به سمت فرادیواره، یعنی $B/h = 1/10$ ، انتظار می‌رفت که گسیختگی برخورد چندانی با پی نداشته باشد، اما همان‌طور که در شکل (۴-پ) مشاهده می‌شود به دلیل کارگذاری پی در عمق، گسیختگی گسل پخش شده و یک شاخه از آن نیز به زیر پی برخورد نموده است. این حالت نیز مشابه $B/h = 0.5$ پی به صورت یک تیر نسبتاً گیردار با دو تکیه گاه در دو انتهای خود عمل نموده و تغییر شکل نیز از نوع کاسه‌ای می‌باشد. تنها تفاوت آن با حالت قبلی این است که نحوه توزیع فشار تماسی و لنگر خمی تقریباً به صورت متقاضن می‌باشد. میزان افزایش لنگر خمی نیز تا حدود $3/5$ برابر میزان اولیه مشاهده می‌شود و با وجود کاهش میزان فشار تماسی، پی همچنان تماس خود را با خاک حفظ نموده است.

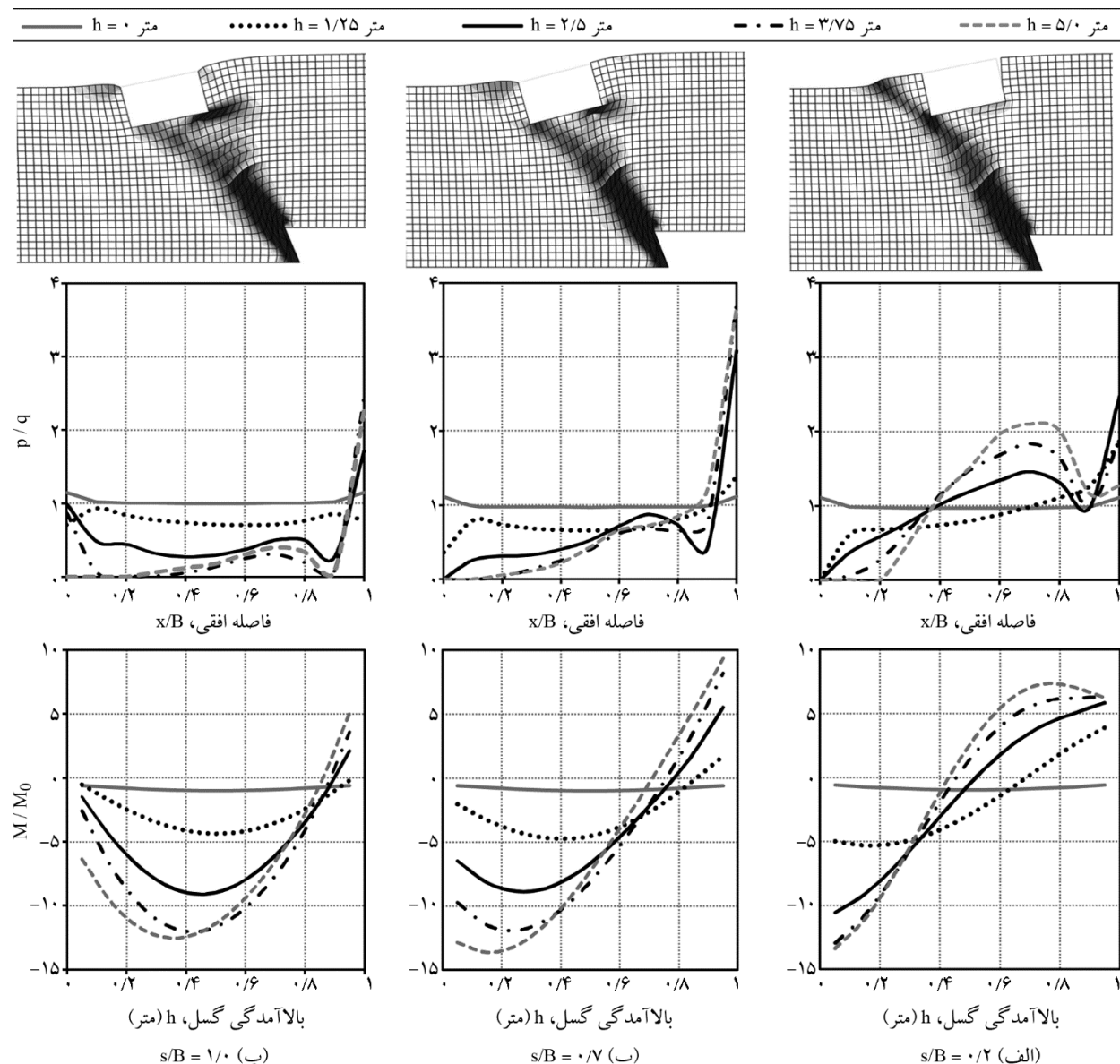
به منظور بررسی تأثیر موقعیت پی در عمق دیگر کارگذاری پی، پاسخ پی مشابه حالت قبلی در عمق $D/B = 0.6$ و در موقعیت‌های $1/10$ ، 0.7 ، 0.8 تحت گسلش معکوس مورد

در شکل (۴) مش تغییر شکل یافته به همراه کانتور کرنش‌های برشی پلاستیک برای نسبت بالا آمدگی گسل $h/H = 0.20$ ، فشار تماسی بی بعد در فصل مشترک کف پی و خاک زیر آن (p/q) به همراه لنگر خمی بی بعد (M/M_0) ارائه شده‌اند. که p فشار تماسی بین خاک و المان کف پی، q فشار وارد بر پی، M لنگر خمی المان کف پی و M_0 لنگر خمی ماقزیم المان کف پی برای بالا آمدگی گسل $h = 0.10$ و در شرایط سکون می‌باشد.

در تمامی موارد مشخص است که گسیختگی ناشی از گسل تا حدود زیادی پخش شده و دو شاخه شده است. این حالت در موقعیت پی $s/B = 0.2$ کمتر رخ داده است. همان‌طور که در شکل (۴-الف) نشان داده شده است، برای موقعیت پی $B/h = 0.5$ گسیختگی ناشی از گسل تا حدود زیادی به سمت چپ پی (فرو دیواره) منحرف شده است. اما با این وجود، پی تنش‌های زیادی را در نتیجه گسلش تجربه نموده است. پیش از اعمال گسلش ($h = 0.10$)، پی در تماس کامل با خاک بوده و در بیشتر طول خود، در حدود $x/B = 0.8 < 0.10$ ، مقدار $p/q = 1/10$ بوده که به جز در دو انتهای که تا حدود $2/10$ افزایش یافته است. با افزایش میزان بالا آمدگی گسل تا حدود $h = 0.25$ متر، میزان تغییر در فشار تماسی بین کف پی و خاک زیر آن نسبت به حالت قبل از اعمال گسلش زیاد نیست، اما میزان لنگر به وجود آمده در پی تا حدود دو برابر افزایش می‌یابد. برای $h = 0.25$ متر تغییرات در نحوه توزیع فشار تماسی و لنگر خمی قابل ملاحظه خواهد بود. در این حالت لنگر خمی جداکثر در پی بیشتر از دو برابر مقدار اولیه شده است. با افزایش بیشتر میزان $h = 0.30$ شده و در محدوده سمت چپ پی برای $x/B = 0.4 < 0.10$ بیشتر از $1/10$ کاهش می‌باشد تا اینکه در گوشه پی به صفر می‌رسد. این مسئله نشان می‌دهد که گسیختگی ناشی از گسل موجب شده است که گوشه سمت چپ پی در حال از دست دادن تماس خود با خاک می‌باشد. از این‌رو، میزان لنگر در این بخش از پی برای $h = 0.50$ متر تا حدود سه برابر مقدار اولیه افزایش یافته است. در این شرایط نوع تغییر شکل پی در این بخش به فرم خمیده^۶ می‌باشد. در ضمن، از دست رفتن تماس در گوشه چپ پی موجب

با جابه‌جا نمودن پی و قرارگیری آن در موقعیت $s/B = 0/7$ گسیختگی ناشی از گسل به طور نسبتاً کامل در زیر پی بخش شده است (شکل ۵-ب). همان‌طور که در نمودار مربوط به فشار تتماسی مشخص است، با افزایش بالآمدگی گسل به میزان $1/25$ متر، تماس کف پی با خاک زیرش همچنان باقی است اما از میزان فشار تتماسی کاسته شده است. با افزایش بیشتر بالآمدگی گسل، پی تماس خود را در گوشه چپ پی با خاک از دست داده است و برای محدوده $x/B < 0/2$ پی به صورت طره قرار می‌گیرد. از این‌رو در این بخش، میزان لنگر خمی در حدود 14 برابر مقدار اولیه‌اش شده است.

بررسی قرار گرفته است. مقایسه سه موقعیت مذکور پی در شکل (۵) نشان داده شده است. شکل (۵-الف) نشان می‌دهد که برای پی در موقعیت $s/B = 0/2$ گسیختگی ناشی از گسل به گوشه سمت چپ پی برخورد نموده و برای $h > 2/5$ متر پی در حال از دست دادن تماس خود با خاک می‌باشد. از این‌رو، فشار تتماسی در این شرایط صفر شده و پی به صورت طره‌ای قرار می‌گیرد. لذا، میزان لنگر خمی در پی با توجه به طره‌ای شدن و اتصال صلب با دیواره پی، بهشت افزایش می‌یابد به طوری که برای $h = 5/0$ متر در حدود 13 برابر مقدار اولیه لنگر خمی شده است.

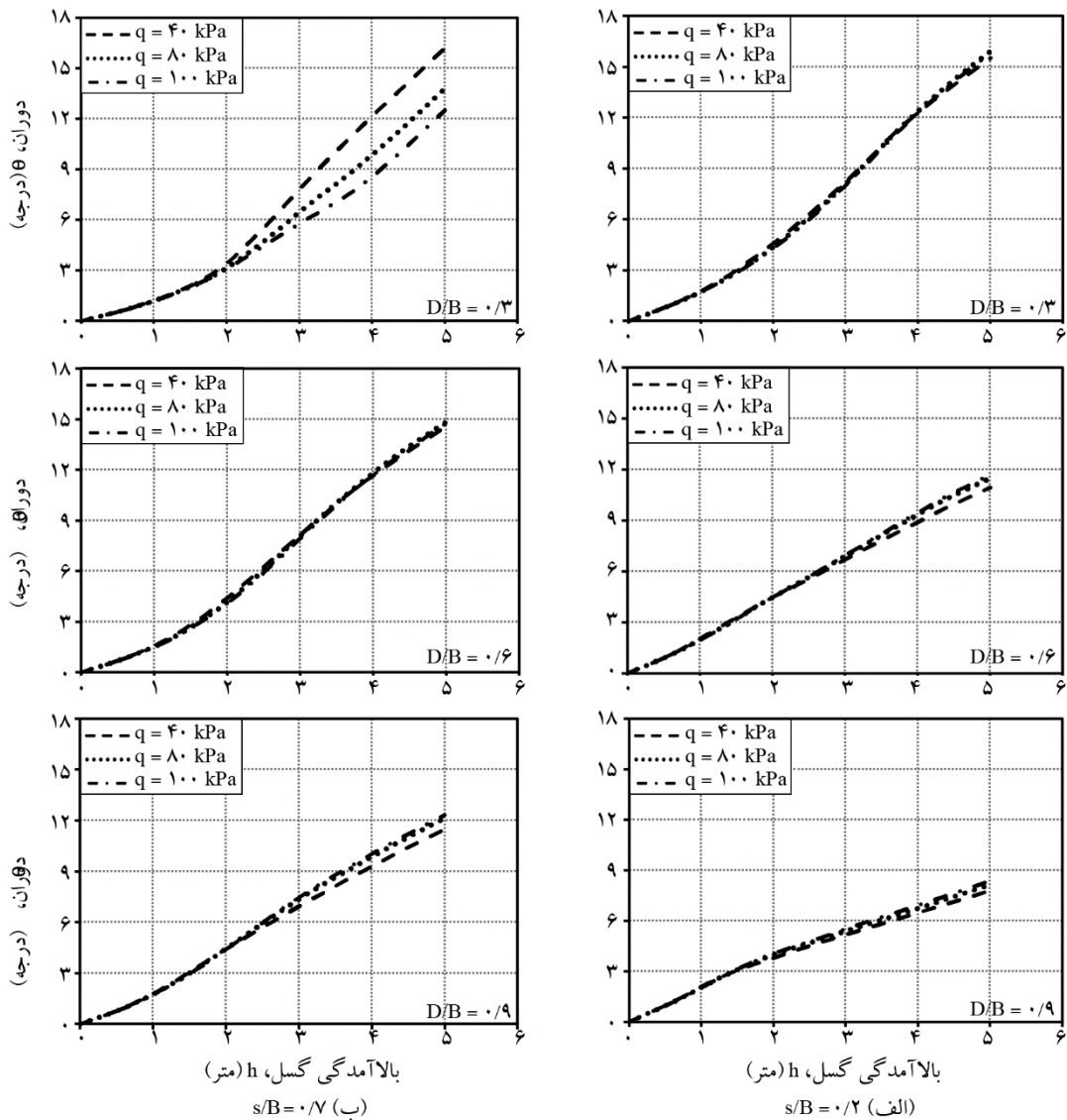


شکل (۵): تأثیر موقعیت پی صلب نسبت به بیرون‌زدگی گسیختگی گسل برای پی با عمق کارگذاری $D/B = 0/6$ و فشار $q = 100$ کیلوپاسکال در موقعیت‌های (الف) $(s/B = 0/2)$ ، (ب) $(s/B = 0/7)$ و (پ) $(s/B = 1/0)$

خواهد یافت. با افزایش بالا آمدگی گسل تا حدود $5/0$ متر مشخص است که بی تماس خود را در محدوده $x/B < 0/4$ از دست داده و در این محدوده به صورت طره‌ای عمل می‌کند.

۲-۵- تأثیر فشار وارد بر پی (وزن ساختمان)

برای تعیین تأثیر فشار وارد بر پی یا به عبارت دیگر وزن ساختمان در اندرکنش گسل معکوس و پی سطحی کارگذاری شده در عمق، پاسخ پی به عرض 10 متر، با عمق‌های کارگذاری $D/B = 0/3, 0/6, 0/9$ و در موقعیت‌های $s/B = 0/2, 0/7$ تحت گسلش معکوس مورد بررسی قرار گرفته است. مقایسه سه موقعیت مذکور پی در شکل (۶) نشان داده شده است.



شکل (۶): تأثیر وزن پی بر روی دوران بی‌صلب با عمق‌های کارگذاری مختلف در موقعیت‌های (الف) $s/B = 0/2$ و (ب) $s/B = 0/7$

با دورتر نمودن پی از محل گسیختگی گسل و قرار دادن آن در موقعیت $s/B = 1/0$ ، گسیختگی ناشی از گسل همچنان به کف پی برخورد نموده و پخش شدگی آن به شکلی است که تا حدودی به سمت فرادیواره نیز متغیر شده است. این موضوع در شکل (۵-پ) نشان داده شده است. با افزایش میزان بالا آمدگی گسل تا $1/25$ متر، تغییر چندانی در میزان فشار تماسی کف پی ایجاد نشده اما میزان لنگر خمشی در پی به حدود پنج برابر میزان اولیه رسیده است. کاهش مقدار فشار تماسی مؤید این مطلب است که پی در حال از دست دادن تماس خود بوده و پی به صورت یک تیر نسبتاً گیردار با تکیه‌گاه‌هایی در دو انتهای خود عمل می‌نماید. در نتیجه میزان لنگر خمشی آن به مرور و با افزایش میزان بالا آمدگی گسل، افزایش

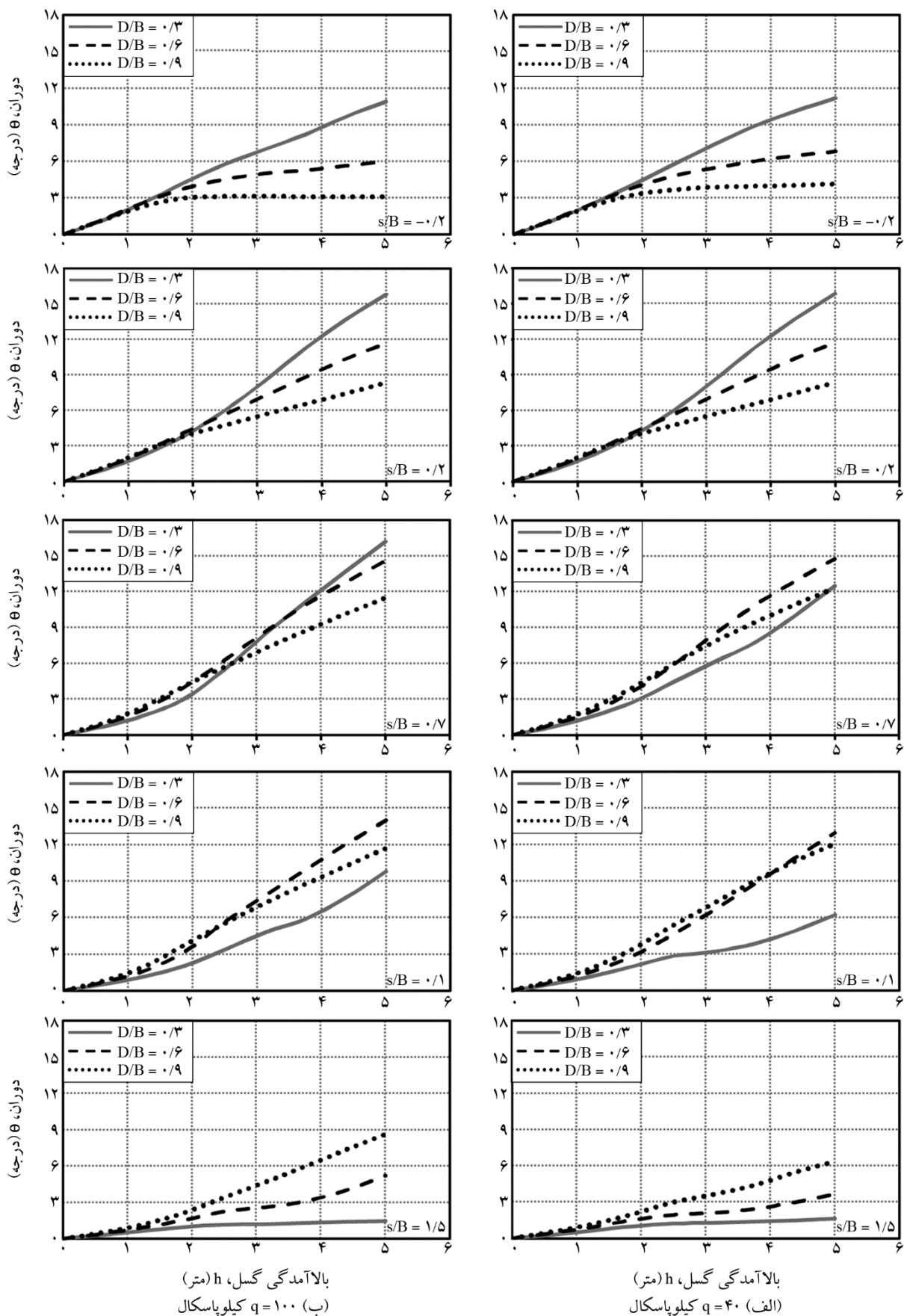
۳-۵- تأثیر عمق کارگذاری پی

به منظور بررسی تأثیر عمق کارگذاری پی بر روی اندرکنش گسل معکوس و پی سطحی، پی به عرض ۱۰ متر، با فشارهای وارد بر پی 100 kN کیلوپاسکال و در موقعیت‌های $1/5$ ، $1/10$ ، $0/2$ ، $0/7$ برای عمق‌های کارگذاری $D/B = -0.2$ ، 0.9 ، 0.6 ، 0.2 تحلیل شده است. مقایسه تأثیر سه عمق پی به صورت تغییرات دوران پی بهازای جابه‌جایی قائم گسل در شکل (۷) نشان داده شده است. نتایج نشان می‌دهد که تأثیر افزایش عمق (D/B) بر روی اندرکنش پی - گسل تا حد زیادی به موقعیت پی نسبت به گسیختگی سطحی گسل (s/B) وابسته است. برای هر دو مقدار فشار وارد بر پی، بهازای تغییر موقعیت پی از $1/5$ تا -0.2 (یعنی دور شدن پی از گسیختگی سطحی ناشی از گسل)، پی‌های سطحی با عمق کمتر، به ترتیب دوران بیشتر تا کمتری را نسبت به پی‌های سطحی عمیق تر تجربه خواهند نمود. دلیل این مسئله را می‌توان به تغییر مکانیسم خرابی پی ناشی از برخورد گسیختگی گسل نسبت داد. بدین ترتیب که با تغییر عمق کارگذاری پی و همچنین تغییر موقعیت پی نسبت به گسیختگی گسل، مکانیسم اندرکنش بین سه حالت مکانیسم فرادیواره^۶ (یعنی پی واقع بر روی فرادیواره گسل)، مکانیسم فضای خالی^۷ (یعنی گسیختگی ناشی از گسل به زیر پی برخورد نماید) و مکانیسم فرویدیواره^۸ (پی واقع بر روی فرویدیواره گسل) تغییر خواهد نمود. این مکانیسم‌ها توسط احمد و برانسی^[۷] و موسوی و همکاران^[۸] توضیح داده شده‌اند. به منظور بررسی بیشتر این مسئله، تغییرات مکانیسم اندرکنش پی - گسل بهازای پارامترهایی از قبیل عمق کارگذاری پی، موقعیت پی و میزان بالآمدگی گسل در شکل (۸) نشان داده شده است.

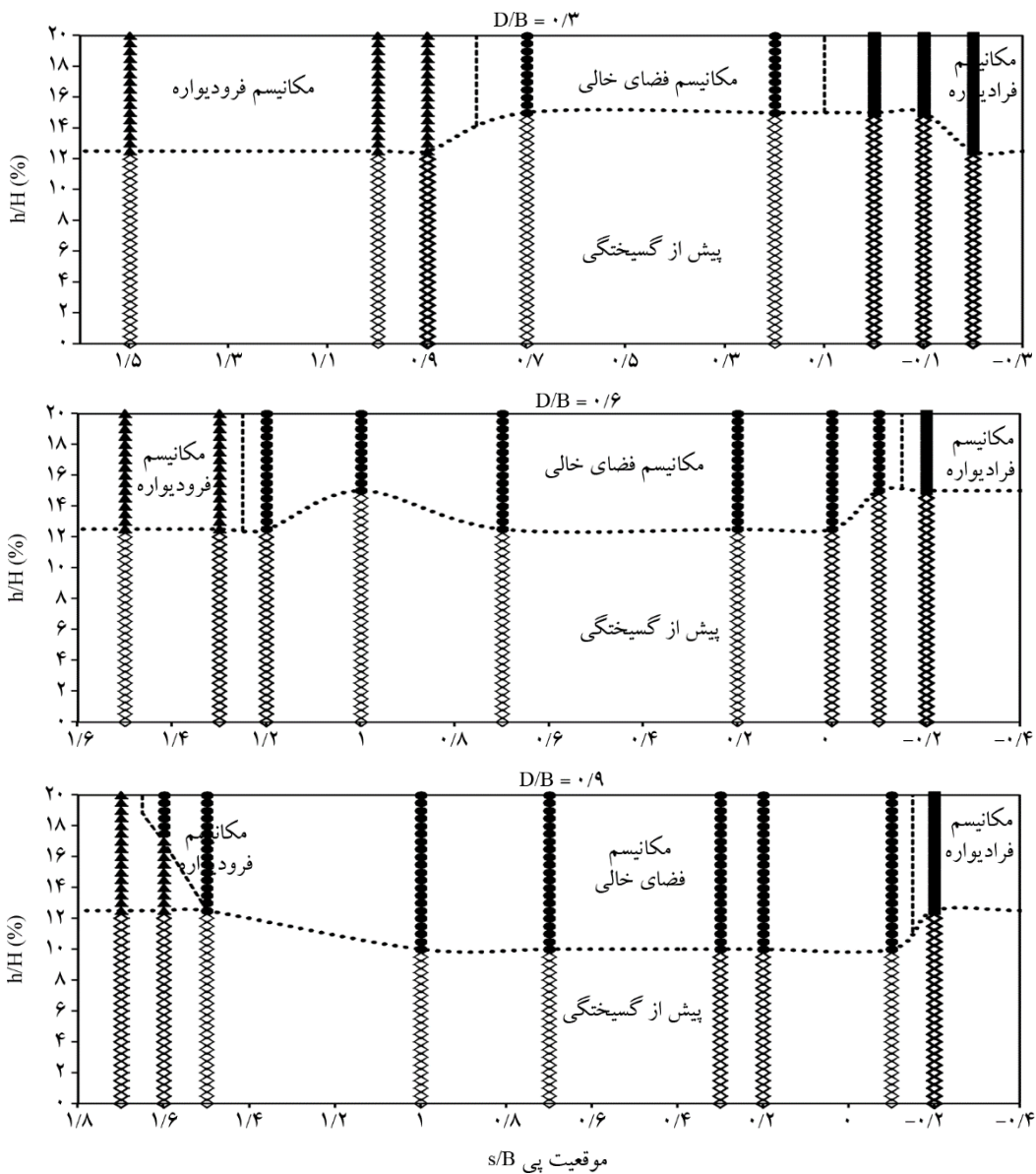
همان‌طور که در شکل (۸) مشاهده می‌شود بهازای تغییر عمق پی و برای موقعیت‌های مختلف پی، مکانیسم‌های خرابی متفاوت خواهد بود. برای پی با عمق کارگذاری $D/B = 0.3$ ، در محدوده $0.8 < s/B < 0.1$ مکانیسم خرابی از نوع فضای خالی بوده و برای محدوده $0.1 < s/B < 0.8$ مکانیسم از نوع فرادیواره و محدوده $0.8 > s/B$ مکانیسم از نوع فرویدیواره می‌باشد.

همان‌طور که در شکل (۶) مشخص است در عمق‌های کارگذاری بیشتر (یعنی $D/B = 0.9$ ، مقدار فشار وارد بر پی، زیاد تأثیر گذار نیست. اگرچه به دلیل محصور بودن ساختمان در عمق‌های بیشتر، در صورت برخورد گسیختگی به پی، دوران زیادی به ساختمان اعمال خواهد شد؛ اما تأثیر پذیری زیادی از فشار وارد بر پی ندارند. برای پی با عمق کارگذاری $D/B = 0.3$ بسته به موقعیت پی، تأثیر وزن ناشی از ساختمان متفاوت است، بدین ترتیب که در موقعیت $s/B = 0.7$ وزن کمتر پی موجب دوران بیشتر پی شده است و با افزایش وزن، دوران پی کاهش می‌یابد. اما در موقعیت $s/B = 0.2$ با کاهش وزن پی دوران آن نیز کاهش یافته است. این موضوع می‌تواند به دلیل تغییر محل برخورد گسیختگی ناشی از گسل به دو طرف مرکز ثقل پی (برای موقعیت‌های $s/B = 0.5$ متفاوت پی) باشد. لذا در صورت برخورد گسیختگی ناشی از گسل به سمت چپ مرکز ثقل (یعنی نیمه سمت چپ پی)، پی سبک‌تر به همراه گسیختگی ناشی از گسل جابه‌جا شده و پی سنگین‌تر علاوه بر جابه‌جایی ممکن است به دوران بیشتر نیز کمک کند. اما در صورت برخورد گسیختگی به نیمه سمت راست پی، پی سبک‌تر دوران زیادتری را تحمل خواهد نمود؛ مسئله‌ای که به‌وضوح برای پی با عمق کارگذاری $D/B = 0.3$ و موقعیت $s/B = 0.7$ قابل مشاهده است. این مکانیسم توسط آشتیانی و همکاران^[۶] به‌طور مفصل بحث شده است. به‌طور کلی می‌توان بیان نمود که تأثیر وزن پی بر روی اندرکنش پی - گسل وابسته به موقعیت پی نسبت به گسیختگی سطحی ناشی از گسل می‌باشد.

مسئله دیگری که در شکل‌ها مشاهده می‌شود کاهش مقدار دوران پی برای پی‌های با عمق کارگذاری بیشتر است (کاهش دوران از حدود ۱۶ درجه به ۸ درجه برای $s/B = 0.2$). به نظر می‌رسد هر چه عمق کارگذاری پی افزایش می‌یابد صلبیت پی و دیوارهای اطراف آن موجب می‌گردد که این مجموعه به شکل یک پی نیمه عمیق (یا کیسونی) عمل نماید. این مشاهدات مشابه نتایج به‌دست آمده توسط لولی و همکاران^[۲۰] می‌باشد.



شکل (۲): تأثیر عمق کارگذاری پی-صلب بر روی اندرکنش پی-گسل معکوس برای فشارهای (الف) $q=40$ کیلوپاسکال و (ب) $q=100$ کیلوپاسکال.

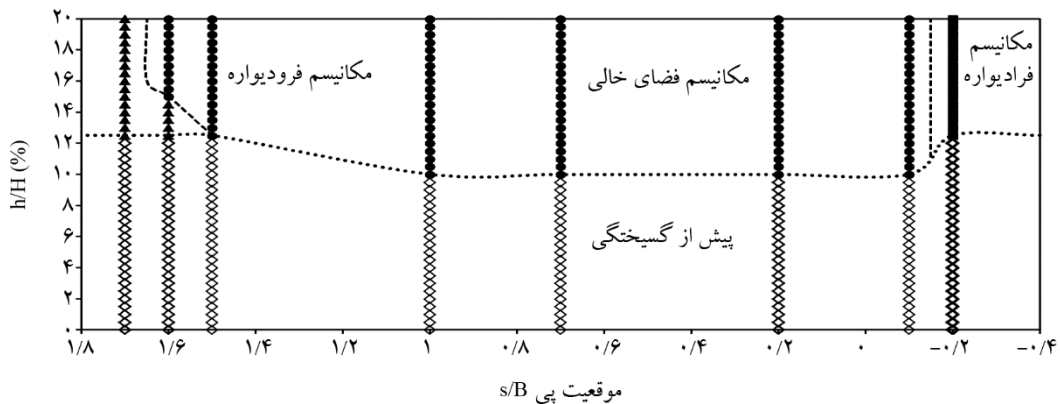


شکل (۸): مکانیسم گسیختگی پی صلب به ازای موقعیت‌های مختلف پی و میزان بالاًمدگی گسل برای پی با فشار $q = 100$ کیلوپاسکال.

نسبت به گسیختگی سطحی گسل و میزان جابه‌جایی گسل نیز توجه داشت. اما مسئله‌ای که مشخص است این است که در صورت یکسان بودن مکانیسم گسیختگی پی‌های با عمق‌های مختلف (به طور مثال، $s/B = 0/2$ در شکل‌های ۷ و ۸)، دوران پی با عمق کارگذاری کمتر، بیشتر از دوران پی با عمق کارگذاری بیشتر است. دلیل این موضوع را نیز می‌توان به محصور بودن بیشتر پی با عمق کارگذاری بیشتر و رفتار مشابه آن با پی‌های صلب و نیمه‌عمیق نسبت داد.

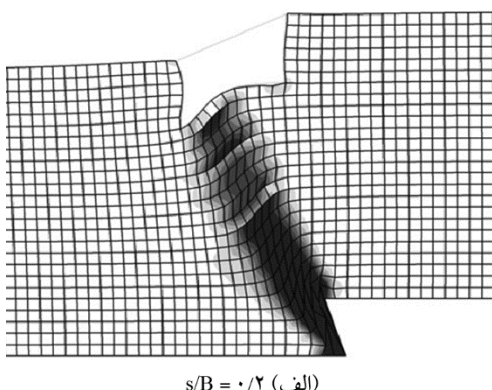
برای بررسی تأثیر وزن پی بر روی مکانیسم خرابی پی،

این در حالی است که با افزایش عمق پی به $D/B = 0/6$ محدوده مکانیسم فضای خالی به $s/B < 1/15$ - $1/25$ افزایش می‌یابد. همین طور برای پی با عمق کارگذاری $D/B = 0/9$ ، در محدوده $s/B < 1/15$ - $1/65$ مکانیسم خرابی از نوع فضای خالی می‌باشد. در این شرایط برای موقعیت $s/B = 1/6$ به ازای $h/H > 12/5$ مکانیسم از نوع فروdiaphragm است اما پس از اینکه نسبت بالاًمدگی گسل (h/H) از $16/5$ درصد بیشتر شد نوع مکانیسم به فضای خالی تغییر پیدا کرد. لذا، در صورت مقایسه رفتار پی‌ها با عمق‌های کارگذاری متفاوت باید به موقعیت آنها

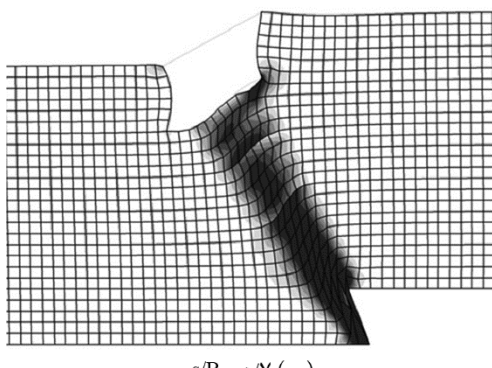


شکل (۹): مکانیسم گسیختگی پی صلب به ازای موقعیت‌های مختلف پی و میزان بالآمدگی گسل برای پی با فشار $q = 20$ کیلوپاسکال و عمق کارگذاری $D/B = 0.6$.

می‌توان نتیجه گرفت که صلیت بالای پی موجب پخش شدن خط گسیختگی ناشی از گسل به اطراف پی می‌شود. این رفتار برای پی‌های انعطاف‌پذیر به صورت یک خط گسیختگی بدون انحراف بوده و به طور مستقیم به پی برخورد می‌نماید. مسئله‌ای که در اینجا مشخص است فرم تغییر شکل پی می‌باشد که کاملاً از تغییر شکل اعمالی توسط گسل به سطح زمین تعیت می‌کند.



(الف) $s/B = 0.2$



(ب) $s/B = 0.7$

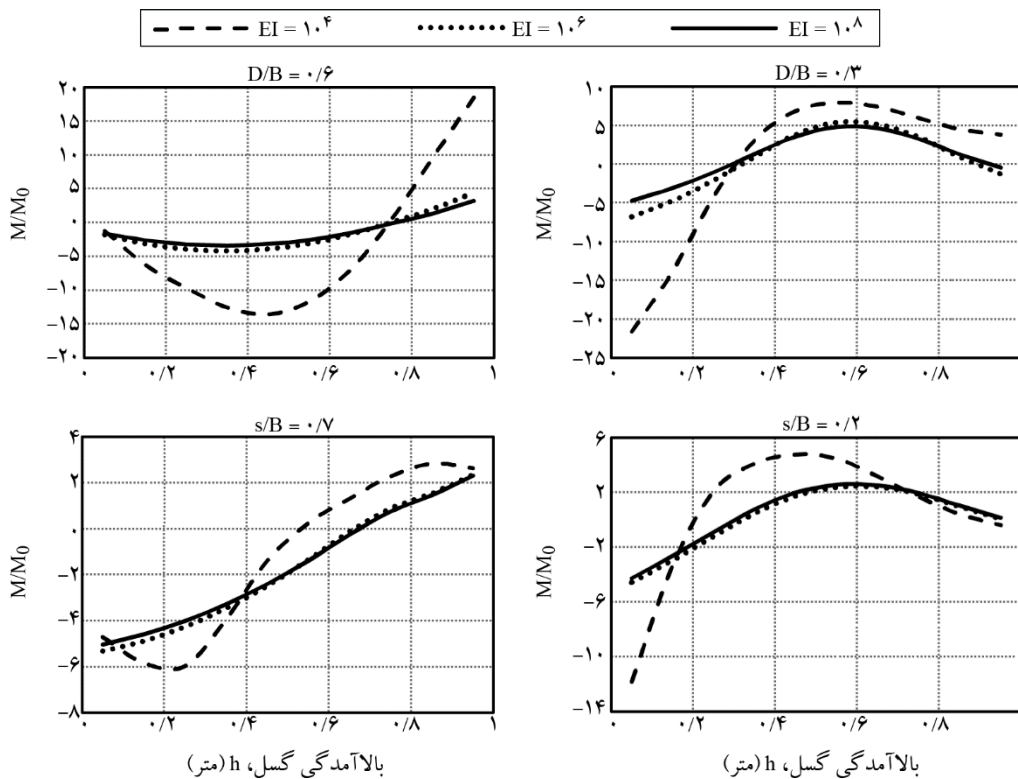
شکل (۱۰): تأثیر موقعیت پی انعطاف‌پذیر نسبت به بیرون‌زدگی گسیختگی گسل برای پی با عمق کارگذاری $D/B = 0.6$ و $D/B = 0.2$ و فشار $q = 20$ کیلوپاسکال در موقعیت‌های (الف) $s/B = 0.2$ و (ب) $s/B = 0.7$.

مکانیسم گسیختگی پی صلب برای پی با عمق کارگذاری $D/B = 0.6$ و وزن $q = 20$ کیلوپاسکال در شکل (۹) نشان داده شده است. در مقایسه با شکل (۸) مشخص است که محدوده مکانیسم فضای خالی از $s/B < 0.15$ برای پی با وزن $q = 100$ کیلوپاسکال به محدوده مکانیسم فضای خالی از $s/B < 0.15$ برای پی با وزن $q = 20$ کیلوپاسکال افزایش پیدا است. لذا، محدوده مکانیسم فضای خالی برای پی با وزن کمتر، بیشتر از پی با وزن زیاد است. به عبارتی دیگر، وزن بالای پی به انحراف گسیختگی ناشی از گسل از پی کمک خواهد نمود.

۴-۵- تأثیر صلیت خمشی پی

به منظور بررسی تأثیر صلیت پی بر روی اندرکنش پی-گسل، پی به عرض $B = 10$ متر، فشار وارد بر پی $q = 20$ کیلوپاسکال، عمق کارگذاری $D/B = 0.6$ با صلیت‌های خمشی $EI = 10^4, 10^6, 10^8$ کیلونیوتن مترمربع و در موقعیت‌های $s/B = 0.2$ تحت گسلش معکوس تحلیل شده است.

مقایسه کانتور کرنش‌های برشی پلاستیک پی انعطاف‌پذیر برای صلیت خمشی $EI = 10^4$ کیلونیوتن مترمربع، نسبت بالآمدگی گسل $h/H = 0.20$ و موقعیت‌های $s/B = 0.2$ در شکل (۱۰) نشان داده شده است. با مقایسه خطوط گسیختگی (کانتور کرنش‌های برشی پلاستیک) در مشاهی تغییر شکل یافته مربوط به شکل‌های (۴) و (۵) برای پی‌های صلب و همچنین خطوط گسیختگی شکل (۱۰) برای پی انعطاف‌پذیر



شکل (۱۱): تأثیر صلیت خمی پی بر روی رفتار اندرکنشی پی با فشار $q=۲۰$ کیلوپاسکال در موقعیت‌های (الف) $s/B=۰/۲$ و (ب) $s/B=۰/۷$ و برای $h/H₀=۰.۲$.

مقدار نرمالایز شده لنگر خمی ۲۰۰ درصد افزایش داشته است. با وجود افزایش مقدار لنگر نرمالایز شده در نتیجه کاهش صلیت خمی پی، افزایش عمق کارگذاری پی موجب می‌شود که میزان افزایش این مقدار کمتر باشد. نکته‌ای که در خصوص افزایش مقدار نرمالایز شده $M/M₀$ باید توجه داشت این است که این تغییرات به دلیل افزایش مقدار لنگر خمی ناشی از نیروی تکونیکی، M نیست بلکه کاهش مقدار $M₀$ موجب افزایش مقدار نرمالایز شده لنگر خمی می‌شود.

۶- نتیجه گیری

در این مقاله، یک سری تحلیل‌های پارامتریک در خصوص اندرکش برخورد گسیختگی گسل معکوس به پی‌های سطحی کارگذاری شده در عمق، با استفاده از مدل عددی اعتبارسنجی شده با نتایج آزمایش سانتریفیوژ، انجام پذیرفته است. نتایج به دست آمده از تحلیل‌ها و بررسی‌ها به شرح زیر است:
- رفتار پی و بازویی تنش در آن کاملاً به موقعیت پی نسبت به

تأثیر پارامتر EI بر روی مقدار نرمالایز شده $M/M₀$ به ازای تغییر عمق کارگذاری پی و موقعیت پی نسبت به گسیختگی سطحی گسل در شکل (۱۱) نشان داده شده است. با کاهش صلیت خمی از $۱۰^۴$ کیلونیوتون مترمربع به $۱۰^۶$ کیلونیوتون مترمربع (یعنی کاهش ۲ مرتبه‌ای در مقدار صلیت خمی) تغییر قابل توجهی در $M/M₀$ مشاهده نمی‌شود. هرچند، کاهش صلیت خمی به $۱۰^۸$ کیلونیوتون مترمربع موجب افزایش مقدار نرمالایز شده لنگر خمی خواهد شد. در این ارتباط، برای پی با عمق کارگذاری $D/B=۰/۳$ و موقعیت $s/B=۰/۷$ کاهش صلیت خمی از $۱۰^۴$ کیلونیوتون مترمربع به $۱۰^۶$ کیلونیوتون مترمربع باعث افزایش ۵۰ درصد مقدار $M/M₀$ شده و با کاهش صلیت خمی به $۱۰^۴$ کیلونیوتون مترمربع، مقدار نرمالایز شده لنگر خمی ۶۰۰ درصد افزایش داشته است. این در حالی است که برای پی با عمق کارگذاری $D/B=۰/۶$ ، کاهش صلیت خمی از $۱۰^۴$ کیلونیوتون مترمربع به $۱۰^۶$ کیلونیوتون مترمربع باعث افزایش ۲۰ درصد مقدار $M/M₀$ شده و با کاهش صلیت خمی به $۱۰^۴$ کیلونیوتون مترمربع،

فضای خالی و مکانیسم فرودیواره، برای گسیختگی یک پی به وقوع پیوندد. لذا در صورت متفاوت بودن مکانیسم‌های گسیختگی، مقایسه رفتار پی‌ها با یکدیگر جهت تعیین تأثیر عمق کارگذاری درست نیست. اما مسئله‌ای که مشهود می‌باشد این است که در صورت یکسان بودن مکانیسم گسیختگی پی‌های با عمق‌های کارگذاری مختلف، دوران پی با عمق کارگذاری کمتر (به طور مثال $D/B = 0/3$)، بیشتر از دوران پی با عمق کارگذاری بیشتر (به طور مثال $D/B = 0/9$) است.

- صلیت خمی بالای یک پی (یعنی یک پی نسبتاً صلب)، موجب پخش شدن خط گسیختگی ناشی از گسل به اطراف پی می‌شود. این رفتار برای پی‌های انعطاف‌پذیر به صورت یک خط گسیختگی بدون انحراف بوده و به طور مستقیم به پی برخورد می‌نماید و تغییر شکل اعمالی توسط گسل به سطح زمین مستقیماً به پی اعمال می‌گردد. همچنین، کاهش صلیت خمی پی‌ها موجب می‌شود که مقدار لنگر نرمال‌ایزشده پی (M/M_0) افزایش یابند. این در حالی است که با افزایش عمق کارگذاری پی، نرخ افزایش این مقدار کمتر شده است. نکته‌ای که در خصوص افزایش مقدار نرمال‌ایزشده M/M_0 باید توجه داشت این است که تغییرات مقدار لنگر نرمال‌ایزشده پی (M/M_0) در نتیجه کاهش صلیت خمی پی‌ها، به دلیل افزایش مقدار لنگر خمی ناشی از نیروی تکتونیکی، M نیست بلکه کاهش مقدار M_0 موجب افزایش این مقدار شده است.

- نتایج این تحقیق تنها بر روی خاک ماسه‌ای نسبتاً شل انجام شده است و تمامی خاک‌ها را شامل نمی‌شود. وزن ساختمان به صورت متمرکز در کف پی اعمال شده است که با توجه به وجود روسازه در ساختمان، این موضوع باید به درستی در تحلیل‌ها وارد شود. همچنین به منظور بررسی تأثیر صلیت خمی پی، سختی روسازه در تحلیل‌ها وارد نشده است.

مراجع

1. Faccioli, E., Anastopoulos, I., Gazetas, G., Cellerio, A., and Paolucci, R. (2008) Fault rupture–foundation interaction: selected case histories. *Bulletin of Earthquake Engineering*, **6**, 557–583.

گسیختگی ناشی از گسل بر روی سطح زمین بستگی دارد. بسته به موقعیت برخورد گسیختگی ناشی از گسل به زیر پی، این امکان وجود دارد که بخش‌های میانی یا دو طرف پی تماس خود را با خاک از دست داده و باز توزیع نیروها و لنگر خمی در پی رخ دهد. همچنین، حتی با دور شدن کامل گسیختگی گسل از زیر پی، باز هم ممکن است بخشی از تماس خاک با پی از دست برود و باز توزیع تنش در پی اتفاق بیافتد. این موضوع در نوع مکانیسم خرابی ایجاد شده در پی در نتیجه برخورد گسیختگی گسل به آن قابل مشاهده است.

- وزن ساختمان در پی‌های با عمق کارگذاری کمتر (به طور مثال $D/B = 0/3$), روی رفتار دورانی پی و همچنین منحرف نمودن گسیختگی ناشی از گسل تأثیرگذار است. در این خصوص، قاعده‌تاً افزایش وزن پی موجب انحراف بیشتر گسیختگی ناشی از گسل می‌شود. اما در ارتباط با دوران پی باید اذعان نمود که تأثیر وزن پی، کاملاً به موقعیت پی نسبت به گسیختگی گسل دارد. یعنی با تغییر موقعیت پی، رفتار دورانی پی نیز تغییر می‌کند. همچنین با افزایش عمق کارگذاری پی، مقدار فشار وارد بر پی خیلی تأثیرگذار نیست. اگرچه به دلیل محصور بودن ساختمان در عمق‌های بیشتر، در صورت برخورد گسیختگی به پی، دوران زیادی به ساختمان اعمال خواهد شد، اما تأثیرپذیری زیادی از فشار وارد بر پی ندارد.

- با افزایش عمق کارگذاری پی، دوران آن تا حدودی کاهش می‌یابد. به نظر می‌رسد هر چه عمق کارگذاری پی افزایش می‌یابد صلیت پی و دیوارهای اطراف آن موجب می‌گردد که این مجموعه به شکل یک پی نیمه عمیق (یا کیسونی) عمل نماید. اما نحوه تغییرات دوران پی‌ها با عمق‌های کارگذاری مختلف نسبت به یکدیگر، کاملاً به موقعیت آنها نسبت به گسیختگی سطحی گسل و همچنین مقدار جایه‌جایی گسل بستگی دارد. نتایج نشان می‌دهد که برای یک عمق کارگذاری مشخص پی و در یک موقعیت خاص آن و با توجه به میزان خاصی از جایه‌جایی اعمالی گسل به پی، ممکن است مکانیسم‌های متفاوتی از قبیل مکانیسم فرادیواره، مکانیسم

- mental Engineering*, **139**(11), 1864-1874.
13. Bray, J.D., Seed, R.B., and Seed, H.B. (1993) 1g small-scale modeling of saturated cohesive soils. *Geotech. Test. J.*, **16**(1), 46-53.
 14. Oettle, N.K., Bray, J.D., and Dreger, D.S. (2015) Dynamic effects of surface fault rupture interaction with structures. *Soil Dynamics and Earthquake Engineering*, **72**, 37-47.
 15. ABAQUS, Inc. (2004) *ABAQUS V.6.5. User's manual*. Providence, R.I.
 16. Bray, J.D., Seed, R.B., and Seed, H.B. (1994) Analysis of earthquake fault rupture propagation through cohesive soil. *J. Geotech. Engrg.*, **120**(3), 562-580.
 17. Anastasopoulos, I., Callero, A., Bransby, M.F., Davies, M.C.R., El Nahas, A., Faccioli, E., Gazetas, G., Masella, A., Paolucci, R., Pecker, A., and Rossignol, E. (2008) Numerical analyses of fault-foundation interaction. *Bull. Earthquake Eng.*, **6**, 645-675.
 18. Muir Wood, D. (2004) *Geotechnical Modeling*. Spon Press, London.
 19. Ashtiani, M. (2016) *Study on Mitigation Measures of Reverse Faulting on the Performance of Shallow Foundations*. Ph.D. Thesis. The University of Tehran, Tehran, Iran (in Persian).
 20. Loli, M., Anastasopoulos, I., Bransby, M.F., Ahmed, W., and Gazetas, G. (2011) Caisson Foundations subjected to Reverse Fault Rupture: Centrifuge Testing and Numerical Analysis. *Journal of Geotechnical and Geoenvironmental Engineering*, **137**(10), 914-925.

واژه‌نامه

Shallow Foundation	۱- پی سطحی
Revese Fault	۲- گسل معکوس
Numerical Modeling	۳- مدل‌سازی عددی
Hogging	۴- فرم خمیده
Sagging	۵- فرم کاسه‌ای
Hangingwall Mechanism	۶- مکانیسم فرادیواره
Gapping Mechanism	۷- مکانیسم فضای خالی
Footwall Mechanism	۸- مکانیسم فرودیواره

2. Ulusay, R., Aydan, O., and Hamada, M. (2002) The behavior of structures built on active fault zones: Examples from the recent earthquakes of Turkey. *Struct. Eng. Earthq. Eng.*, **19**(2), 149-167.
3. Lin, A. and Ren, Z. (2009) *The Great Wenchuan Earthquake of 2008: A Photographic Atlas of Surface Rupture and Related Disaster*. Springer Science & Business Media, Berlin.
4. Lin, M.L., Chung, C.F., and Jeng, F.S. (2006) Deformation of overburden soil induced by thrust fault slip. *Engineering Geology*, **88**, 70-89.
5. Bransby, M.F., Davies, M.C.R., El Nahas, A., and Nagaoka S. (2008) Centrifuge modeling of reverse fault-foundation interaction. *Bulletin of Earthquake Eng.*, **6**(4), 607-628.
6. Ashtiani, M., Ghalandarzadeh, A., and Towhata, I. (2015). Centrifuge modeling of shallow embedded foundations subjected to reverse fault rupture. *Canadian Geotechnical Journal*, **53**(3), 505-519.
7. Ahmed, W. and Bransby, M.F. (2009) Interaction of Shallow Foundations with Reverse Faults. *J. of Geotechnical and Geoenvironmental Engineering*, **135**(7), 914-924.
8. Moosavi, S.M., Jafari, M.K., Kamalian, M., and Shafiee, A. (2010) Experimental investigation of reverse fault rupture – rigid shallow foundation interaction. *International Journal of Civil Engineering*, **8**(2), 85-98.
9. Anastasopoulos, I., Gazetas, G., Bransby, M.F., Davies, M.C.R., and El Nahas, A. (2007) Fault Rupture Propagation through Sand: Finite-Element Analysis and Validation through Centrifuge Experiments. *Journal of Geotechnical and Geoenvironmental Engineering*, **133**(8), 943-958.
10. Oettle, N.K. and Bray, J.D. (2016) Numerical procedures for simulating earthquake fault rupture propagation. *International Journal of Geomechanics*, **17**(1), 04016025.
11. Yilmaz, M.T. and Paolucci, R. (2007) Earthquake fault rupture–shallow foundation interaction in undrained soils: a simplified analytical approach. *Earthquake Eng. Struct. Dyn.*, **36**(1), 101-118.
12. Oettle, N.K. and Bray, J.D. (2013) Geotechnical mitigation strategies for earthquake surface fault rupture. *Journal of Geotechnical and Geoenviron-*



Parameters Affecting the Interaction of Shallow Embedded Foundations and Reverse Faulting

Mehdi Ashtiani^{1*} and Abbas Ghalandarzadeh²

1. Assistant Professor, Faculty of Civil Engineering, Babol Noshirvani University of Technology, Babol, Iran,
*Corresponding Author, email: m.ashtiani@nit.ac.ir

2. Associate Professor, School of Civil Engineering, College of Engineering, University of Tehran, Tehran, Iran

Observations after the 1999 Turkey and Taiwan earthquakes and the 2008 China earthquake have indicated that the structures experience different levels of damages induced by faulting dislocation. Numerous studies have been conducted on the most common types of foundations such as shallow foundations, pile and caisson foundations subjected to faulting by means of numerical and experimental investigations. The parameters affecting the interaction of a reverse fault rupture with a shallow embedded foundation have been investigated by experimentally validated numerical models using ABAQUS software. These parameters are the embedment depth of foundation, the bearing pressure of foundation, the rigidity of foundation and the foundation position. The reverse fault rupture at a dip angle of 60° propagates in a moderately dense sand layer and interplays with the embedded foundation. A summary of conclusions is as follows:

- The behavior of foundation and the development of rupture mechanisms are fully dependent on the location of the foundation relative to the fault rupture and the magnitude of the fault offset. Depending on the foundation position, the loss of support of the foundation takes place either under the edges (i.e. the hogging deformation) or under the middle (i.e. the sagging deformation) of the foundation. The foundation experiences the loss of support and stressing even for the indirect-hit case when the fault rupture emerges outside the foundation width.
- The increase of the weight of the foundation leads to diverting the fault rupture and less stressing of the foundation. However, the rotation of foundation depends strongly on the foundation position relative to the fault outcrop compared to the weight of the foundation. By increasing the embedment depth of the foundation, the weight of the foundation has no beneficial effect for the behavior of shallow foundation and the kinematic constraint of deeper foundation causes to significantly increase the rotation of the embedded foundations.
- As the embedment depth increases, the rotation of the foundation decreases for the same rupturing mechanism. It can be attributed to the similar performance of a deeper shallow embedded foundation to that of a deep foundation (such as a caisson foundation). However, the rotation of the foundations with the different embedment depths is largely dependent on the position of the foundation relative to the outcropping fault rupture and the magnitude of the fault offset. Also, the results show that the different fault-induced mechanisms such as footwall, gapping and hanging wall may happen depending on the magnitude of fault offset for a given embedment depth and position of the foundation.
- Depending on the rigidity of the foundation, the rigid shallow foundation may diffuse/divert the fault rupture beyond the foundation, whereas by contrast with a flexible foundation, the fault rupture will develop as a distinct rupture and strike the foundation underneath. In all cases, the foundation rigidity is an important parameter controlling the stressing of the foundation. Decreasing the rigidity of the foundation causes to increase the normalized bending moment of the foundation and the foundation may experience substantial distress. The results indicate that rigid shallow foundations are more suitable than flexible ones for a structure subjected to a major reverse fault rupturing underneath.

Keywords: Shallow Foundation, Reverse Fault, Large Dislocation, Numerical Modeling.